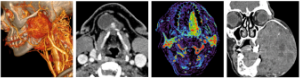


**XVIII CURSO NACIONAL DE NEURORRADIOLÓGIA**  
**RADIOLOGÍA DE CABEZA Y CUELLO**



31 de marzo - 1 de abril de 2022 | Barcelona

**LESIONES CONGÉNITAS DEL CUELLO**

Ignacio Delgado Álvarez HMI Vall d'Hebron  
 igdelgado@vhebron.net



**XVIII CURSO NACIONAL DE NEURORRADIOLÓGIA**  
 RADIOLOGÍA DE CABEZA Y CUELLO

31 de marzo - 1 de abril de 2022 | Barcelona

**Lesiones congénitas cervicales**

Las lesiones congénitas cervicales son frecuentes en niños. Aunque están presentes desde el nacimiento pueden debutar en la edad adulta.

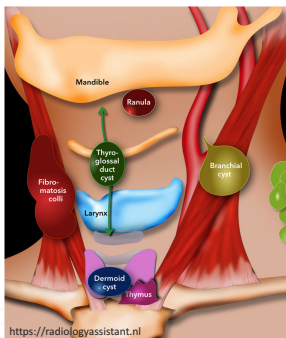
Base embriológica.  
 Diagnóstico diferencial basado en localización y características.  
 A menudo la ecografía será la técnica de elección primera para su diagnóstico (lesión quística?).  
 RM diagnóstico más ajustado especialmente en lesiones transespaciales.  
 TC útil si infección, complicación o guía quirúrgica.



**XVIII CURSO NACIONAL DE NEURORRADIOLÓGIA**  
 RADIOLOGÍA DE CABEZA Y CUELLO

31 de marzo - 1 de abril de 2022 | Barcelona

**Afrontando el problema...**



**Localización?**  
 Lesiones de localización típica  
 Quiste del conducto tirogloso  
 Fibromatosis colli  
 Quistes branquiales  
 Disrafismos

**Sólida? Quística?**

Quiste del conducto tirogloso  
 Quistes branquiales  
 Quiste tímico  
 Malformación linfática  
 Meningocele

Adenopatías  
 Timo  
 Teratoma  
 Neurofibromas  
 Neuroblastoma

<https://radiologyassistant.nl>

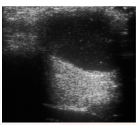
**XVIII CURSO NACIONAL DE NEURORRADIOLÓGIA**  
 RADIOLOGÍA DE CABEZA Y CUELLO

31 de marzo - 1 de abril de 2022 | Barcelona

**Quiste del conducto tirogloso**

Lesión congénita cervical más frecuente.

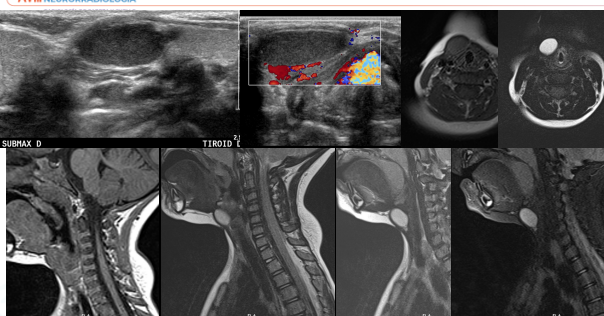
Migración desde el foramen cecum en la base de la lengua hasta célula tiroidea a través del conducto tirogloso.  
 Involución posterior conducto.  
 Persistencia. Quiste del conducto tirogloso a lo largo del trayecto.

Masa palpable.  
 Línea media anterior.  
 Cartilago tiroides. Hioides o por debajo.  
 Se moviliza con la deglución.  
 Anecoica. Bien definida.  
 Ecogenicidad si hemorragia o infección.

**XVIII CURSO NACIONAL DE NEURORRADIOLÓGIA**  
 RADIOLOGÍA DE CABEZA Y CUELLO

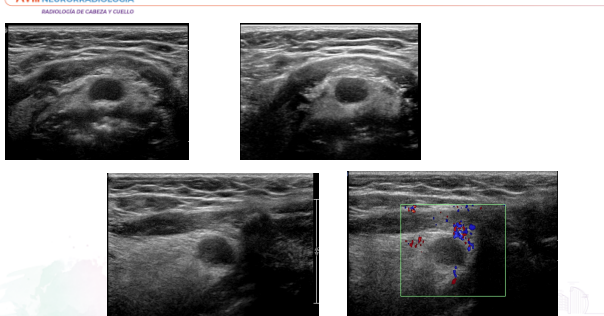
31 de marzo - 1 de abril de 2022 | Barcelona

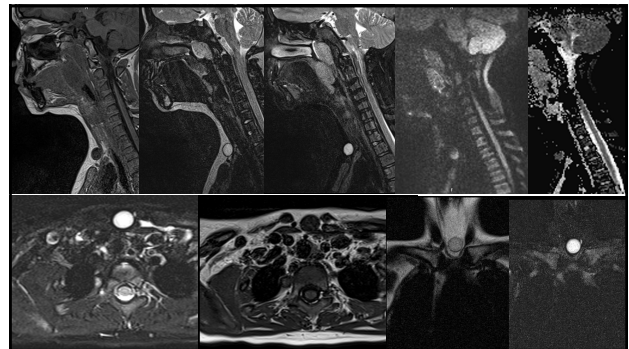
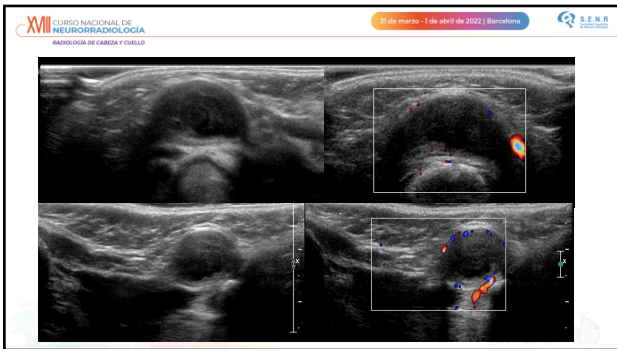
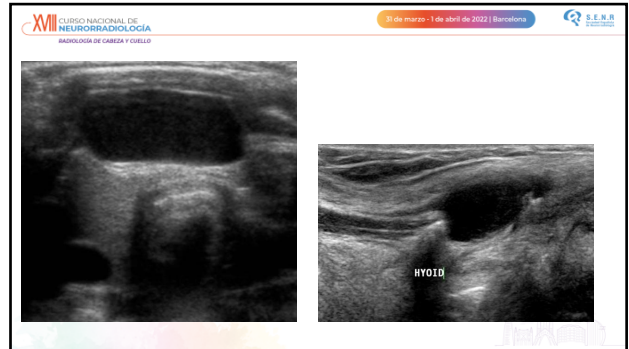


SUBMAX D      TIR010 2

**XVIII CURSO NACIONAL DE NEURORRADIOLÓGIA**  
 RADIOLOGÍA DE CABEZA Y CUELLO

31 de marzo - 1 de abril de 2022 | Barcelona





**XVII CURSO NACIONAL DE NEURORRADIOLÓGIA**  
 RADIOLOGÍA DE CABEZA Y CUELLO

31 de marzo - 1 de abril de 2022 | Barcelona

**Ránula**

Obstrucción de una glándula sublingual.  
 Quiste de retención mucosa.  
 Ránula simple por encima del músculo milohioideo.  
 Hipoecoica.  
 Buscar contacto con glándula.  
 Ránula compleja aparece en espacio submandibular y cuello suprahioides.

**XVII CURSO NACIONAL DE NEURORRADIOLÓGIA**  
 RADIOLOGÍA DE CABEZA Y CUELLO

31 de marzo - 1 de abril de 2022 | Barcelona

**Remanentes branquiales**

Desarrollo embriológico de distintas estructuras del cuello a partir de bolsas y relieves (arcs branquiales), 4-6SG  
 Defectos de cierre y reabsorción de cualquiera de los cuatro arcos y hendiduras branquiales primitivos.

Quistes (75%)  
 Senos  
 Fistulas

Sadler T, Langman's Medical Embryology, Ninth Edition. Baltimore: Lippincott Williams & Wilkins, 2003. Copyright © 2003 Lippincott Williams & Wilkins.

**XVII CURSO NACIONAL DE NEURORRADIOLÓGIA**  
 RADIOLOGÍA DE CABEZA Y CUELLO

31 de marzo - 1 de abril de 2022 | Barcelona

**Remanentes branquiales**

Los derivados del primer arco branquial constituyen un 5-8%.  
 Abscesos o inflamaciones recurrentes alrededor del oído y glándula parótida.  
 Comunicación CAE.  
 Relación con el facial.

**XVII CURSO NACIONAL DE NEURORRADIOLÓGIA**  
 RADIOLOGÍA DE CABEZA Y CUELLO

31 de marzo - 1 de abril de 2022 | Barcelona

**XVII CURSO NACIONAL DE NEURORRADIOLÓGIA**  
 RADIOLOGÍA DE CABEZA Y CUELLO

31 de marzo - 1 de abril de 2022 | Barcelona

**2º arco branquial**

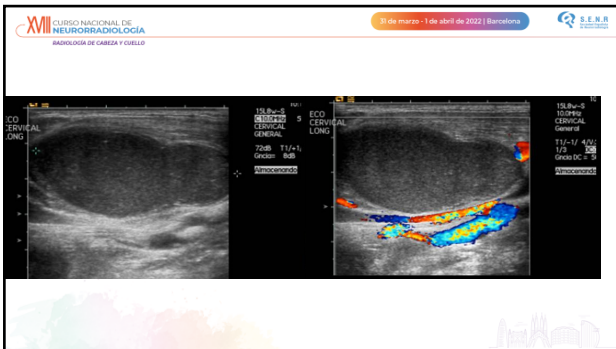
Los más frecuentes (90%).  
 Masa cervical lateral recurrente próxima al ángulo mandibular.  
 Superficial a la arteria carótida común y vena yugular interna, posterior a la glándula submaxilar y a lo largo del borde anteromedial del esternocleidomastoideo.

**XVII CURSO NACIONAL DE NEURORRADIOLÓGIA**  
 RADIOLOGÍA DE CABEZA Y CUELLO

31 de marzo - 1 de abril de 2022 | Barcelona

**2º arco branquial**

Tipo I: profundo al platismo y anterior al esternocleidomastoideo (ECM).  
 Tipo II: el más común, anterior al ECM, posterior a la submaxilar y lateral a los vasos carotídeos  
 Tipo III: protruye entre la arteria carótida interna y externa, puede extenderse a la pared lateral de la faringe o a la base de cráneo.  
 Tipo IV: adyacente a la pared faríngea.



**XVII CURSO NACIONAL DE NEURORRADIOLÓGIA**  
 RADIOLOGÍA DE CABEZA Y CUELLO

31 de marzo - 1 de abril de 2022 | Barcelona

**3º arco branquial**

Infrecuente.  
 Masa fluctuante en triángulo cervical posterior (izquierdo)  
 Por detrás del esternocleidomastoideo.

**XVII CURSO NACIONAL DE NEURORRADIOLÓGIA**  
 RADIOLOGÍA DE CABEZA Y CUELLO

31 de marzo - 1 de abril de 2022 | Barcelona

**4º arco branquial. Fístula seno piriforme**

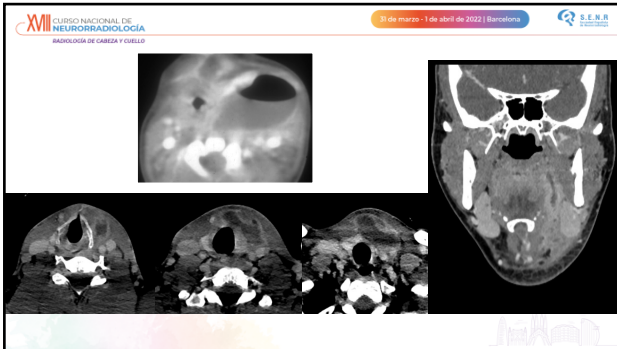
Infrecuente.  
 Infección recidivante tiroidea o peritiroidea.  
 El estudio con bario puede demostrar el trayecto sinusal.



**XVII CURSO NACIONAL DE NEURORRADIOLÓGIA**  
 RADIOLOGÍA DE CABEZA Y CUELLO

31 de marzo - 1 de abril de 2022 | Barcelona

1er arco - Periauricular o periparotídeo  
 2º arco - Anterior al ECM, posterior a la submaxilar y lateral a los vasos carotídeos  
 3er arco - Triángulo posterior por detrás del ECM  
 4º arco - Celda tiroidea

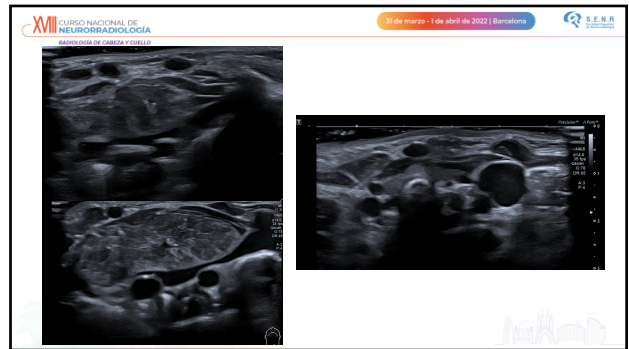


**Remanentes del conducto timofaríngeo**

Timo proviene embriológicamente del tercer y cuarto arcos branquiales (6SG)  
 Anomalías por un descenso incompleto hacia el tórax  
 Tejido tímico ectópico cervical  
 US o RM para comparar ecoestructura e intensidad de señal

**Remanentes del conducto timofaríngeo**

Quiste tímico.  
 Degeneración quística del tejido aberrante ectópico  
 Lateral infrahioides  
 Paralelo al ECM adyacente a la carótida



**Quiste laríngeo congénito**

Laringomucocele.  
 Causa de estridor y compromiso respiratorio en RN.  
 Área glótica.  
 Congénitos, de retención o de inclusión.  
 Lesión anecoica en US.  
 RM hiperintensos en secuencias T2  
 Indentando o en íntima relación con la vía aérea.

**Disrafismos**

Defecto de cierre de tubo neural.  
 A lo largo de todo el eje espinal.  
 Meningocele.  
 Chiari III – Chiari II + cefalocele cervical conteniendo cerebelo.

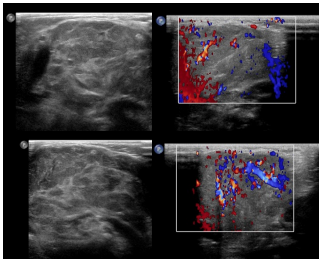
XVII CURSO NACIONAL DE NEURORRADIOLÓGIA  
 RADIOLOGÍA DE CABEZA Y CUELLO

31 de marzo - 1 de abril de 2022 | Barcelona

**Anomalías vasculares**

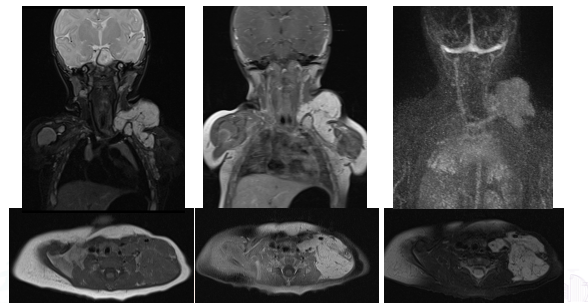
**Hemangioma infantil**

Hemangioma infantil tumor vascular benigno. Cérvicofacial.  
 Pueden no ser evidentes al nacimiento.  
 Etapa temprana de proliferación y una etapa de involución posterior.  
 Parénquima. Proliferación cel endoteliales.  
 No malformación vascular.  
 Masas bien definidas con realce homogéneo y vasos de alto flujo.  
 Hiperintensidad T2 con vacío de señal.  
 No flebolitos.  
 Reemplazo graso en evolución.



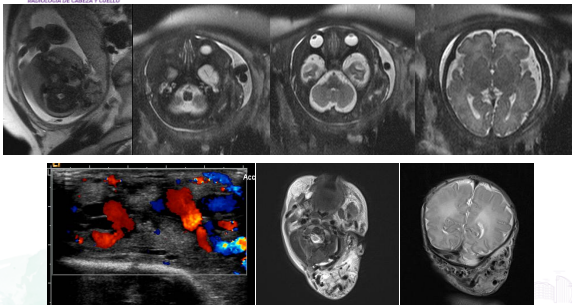
XVII CURSO NACIONAL DE NEURORRADIOLÓGIA  
 RADIOLOGÍA DE CABEZA Y CUELLO

31 de marzo - 1 de abril de 2022 | Barcelona



XVII CURSO NACIONAL DE NEURORRADIOLÓGIA  
 RADIOLOGÍA DE CABEZA Y CUELLO

31 de marzo - 1 de abril de 2022 | Barcelona



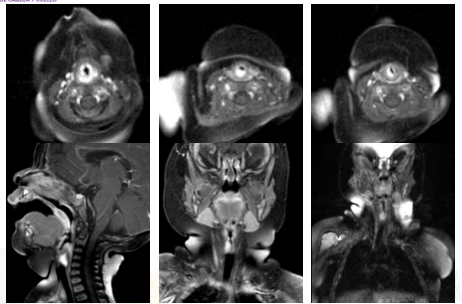
XVII CURSO NACIONAL DE NEURORRADIOLÓGIA  
 RADIOLOGÍA DE CABEZA Y CUELLO

31 de marzo - 1 de abril de 2022 | Barcelona



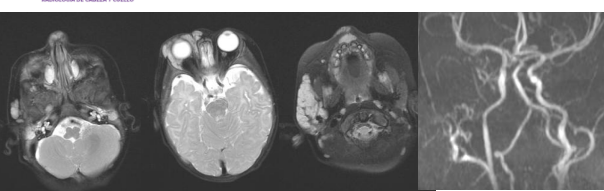
XVII CURSO NACIONAL DE NEURORRADIOLÓGIA  
 RADIOLOGÍA DE CABEZA Y CUELLO

31 de marzo - 1 de abril de 2022 | Barcelona



XVII CURSO NACIONAL DE NEURORRADIOLÓGIA  
 RADIOLOGÍA DE CABEZA Y CUELLO

31 de marzo - 1 de abril de 2022 | Barcelona



- P: posterior fossa malformations
- H: hemangiomas
- A: arterial anomalies (carotid-vertebrobasilar anast)
- C: coarctation of the aorta and cardiac anomalies
- E: eye (ocular) anomalies
- S: Sternal cleft

**XVII CURSO NACIONAL DE NEURORRADIOLOGÍA**  
RADIOLOGÍA DE CABEZA Y CUELLO

31 de marzo - 1 de abril de 2022 | Barcelona

**SENER**

**Malformaciones vasculares de bajo flujo.**  
**Malformación linfática.**

Malformación congénita (no neoplásica)  
Colección anormal de vasos linfáticos.  
Unifocal/multifocal.  
Micro o macroquísticas  
Transespacial  
Niveles líquido/líquido si hemorragia  
Septos realzan

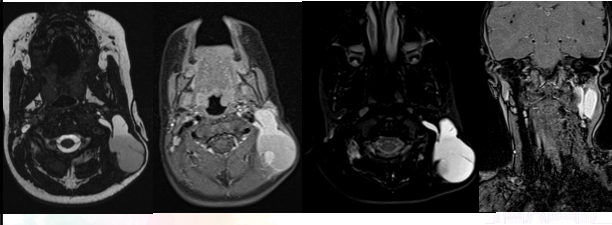


**XVII CURSO NACIONAL DE NEURORRADIOLOGÍA**  
RADIOLOGÍA DE CABEZA Y CUELLO

31 de marzo - 1 de abril de 2022 | Barcelona

**SENER**

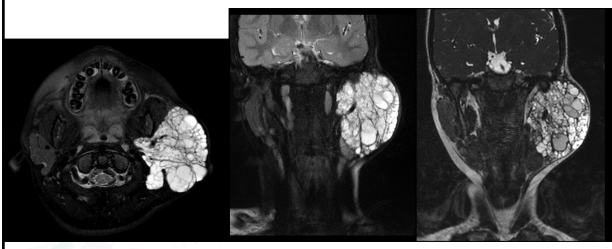
**Malformación linfática**  
Triángulo posterior



**XVII CURSO NACIONAL DE NEURORRADIOLOGÍA**  
RADIOLOGÍA DE CABEZA Y CUELLO

31 de marzo - 1 de abril de 2022 | Barcelona

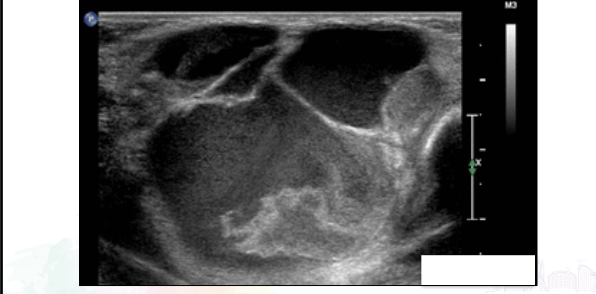
**SENER**



**XVII CURSO NACIONAL DE NEURORRADIOLOGÍA**  
RADIOLOGÍA DE CABEZA Y CUELLO

31 de marzo - 1 de abril de 2022 | Barcelona

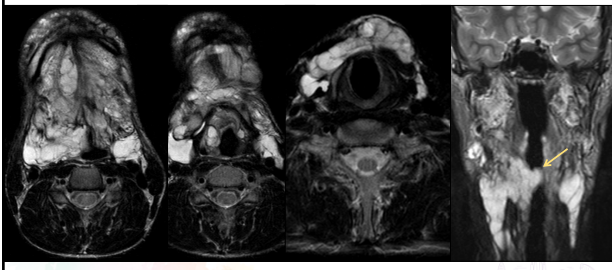
**SENER**



**XVII CURSO NACIONAL DE NEURORRADIOLOGÍA**  
RADIOLOGÍA DE CABEZA Y CUELLO

31 de marzo - 1 de abril de 2022 | Barcelona

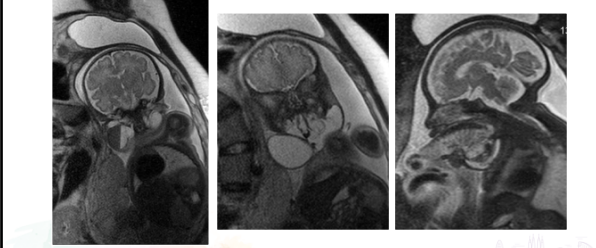
**SENER**

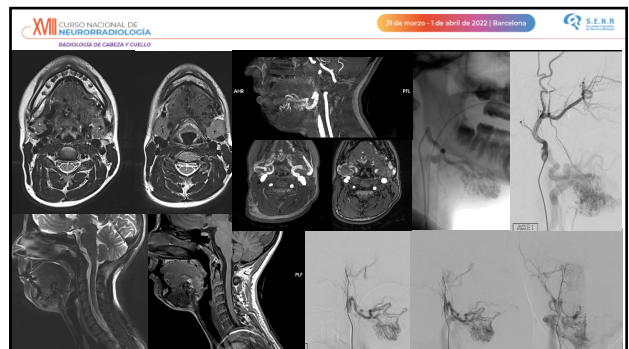
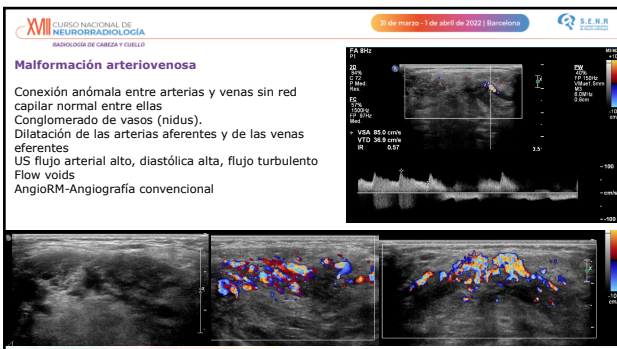
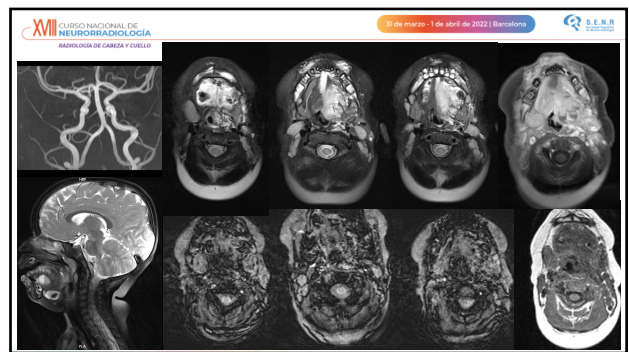
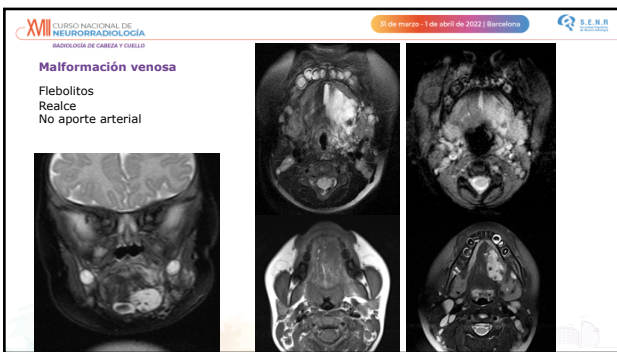
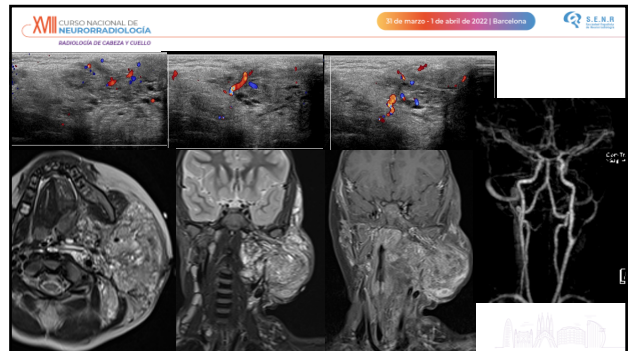


**XVII CURSO NACIONAL DE NEURORRADIOLOGÍA**  
RADIOLOGÍA DE CABEZA Y CUELLO

31 de marzo - 1 de abril de 2022 | Barcelona

**SENER**



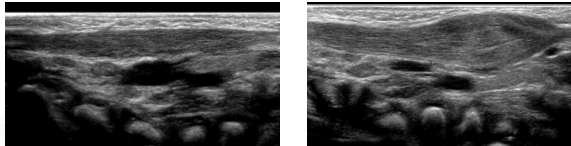


**XVII CURSO NACIONAL DE NEURORRADIOLOGÍA**  
 RADIOLOGÍA DE CABEZA Y CUELLO

31 de marzo - 1 de abril de 2022 | Barcelona

**Fibromatosis colli**

Masa en región cervical.  
 Torticolis. 2 o más semanas después del nacimiento  
 Frecuente antecedente de parto traumático. Nalgas.  
 Necrosis muscular por presión. No hematoma (calcio)  
 Resolución espontánea gradual 4-8 meses  
 US engrosamiento focal o difuso de ECM. Longitudinal.  
 No requiere otras técnicas de imagen



**XVII CURSO NACIONAL DE NEURORRADIOLOGÍA**  
 RADIOLOGÍA DE CABEZA Y CUELLO

31 de marzo - 1 de abril de 2022 | Barcelona

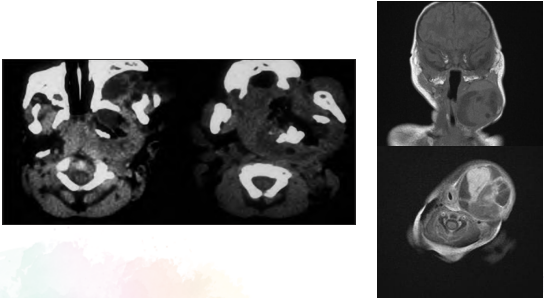
**Teratoma**

Tumor congénico más frecuente.  
 Presentes al nacimiento.  
 Dificultad respiratoria y disfagia.  
 Tres capas germinales  
 Componente sólido, quístico, grasa calcificaciones



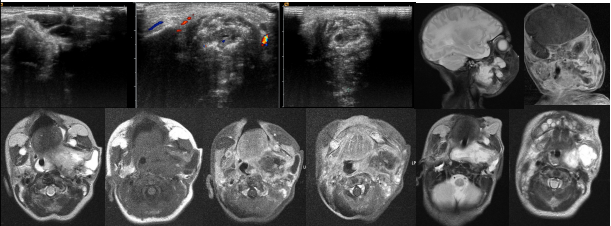
**XVII CURSO NACIONAL DE NEURORRADIOLOGÍA**  
 RADIOLOGÍA DE CABEZA Y CUELLO

31 de marzo - 1 de abril de 2022 | Barcelona



**XVII CURSO NACIONAL DE NEURORRADIOLOGÍA**  
 RADIOLOGÍA DE CABEZA Y CUELLO

31 de marzo - 1 de abril de 2022 | Barcelona

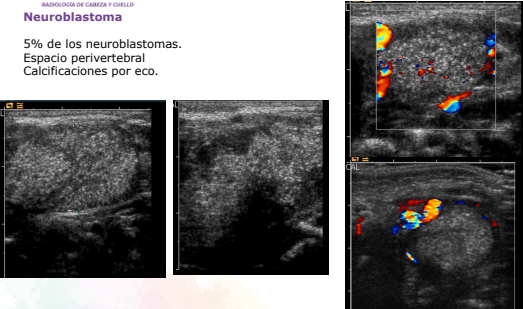


**XVII CURSO NACIONAL DE NEURORRADIOLOGÍA**  
 RADIOLOGÍA DE CABEZA Y CUELLO

31 de marzo - 1 de abril de 2022 | Barcelona

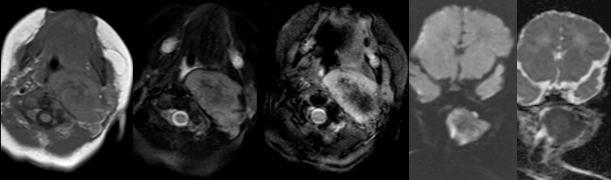
**Neuroblastoma**

5% de los neuroblastomas.  
 Espacio perivertebral  
 Calcificaciones por eco.



**XVII CURSO NACIONAL DE NEURORRADIOLOGÍA**  
 RADIOLOGÍA DE CABEZA Y CUELLO

31 de marzo - 1 de abril de 2022 | Barcelona



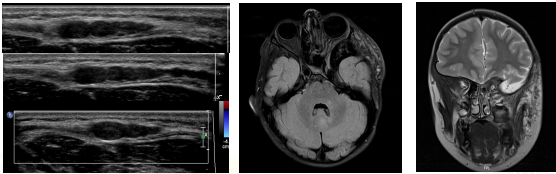
XVII CURSO NACIONAL DE NEURORADIOLOGÍA  
RADIOLOGÍA DE CABEZA Y CUELLO

31 de marzo - 1 de abril de 2022 | Barcelona

S.E.N.R. SOCIEDAD ESPAÑOLA DE NEURORADIOLOGÍA

### Neurofibroma plexiforme

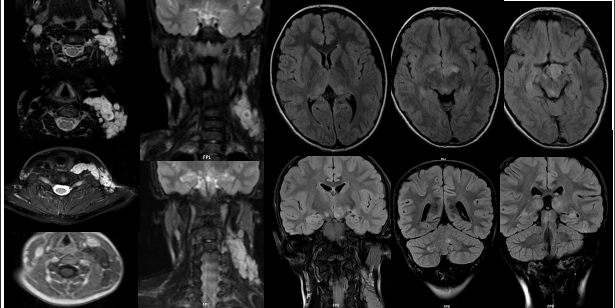
Lesiones fusiformes, tortuosas, "maraña de gusano"  
Multinivel  
"Target sign"  
Estigmas de NF1



XVII CURSO NACIONAL DE NEURORADIOLOGÍA  
RADIOLOGÍA DE CABEZA Y CUELLO

31 de marzo - 1 de abril de 2022 | Barcelona

S.E.N.R. SOCIEDAD ESPAÑOLA DE NEURORADIOLOGÍA



XVII CURSO NACIONAL DE NEURORADIOLOGÍA  
RADIOLOGÍA DE CABEZA Y CUELLO

31 de marzo - 1 de abril de 2022 | Barcelona

S.E.N.R. SOCIEDAD ESPAÑOLA DE NEURORADIOLOGÍA

### Conclusiones

El quiste tirogloso es la lesión congénita cervical más frecuente. Debemos pensar en él ante una lesión quística en línea media y su principal DD es el quiste dermoide.

Pensar en timo ectópico ante una lesión sólida cervical en un niño

El 90% de los quistes branquiales son de 2º arco. Localización.

Si infección peritiroidea 4º arco. Fístula?

Hemangioma vs malformación vascular

Engrosamiento fusiforme ECM lactante Fibromatosis colli

5% neuroblastomas son cervicales

XVII CURSO NACIONAL DE NEURORADIOLOGÍA  
RADIOLOGÍA DE CABEZA Y CUELLO

31 de marzo - 1 de abril de 2022 | Barcelona

S.E.N.R. SOCIEDAD ESPAÑOLA DE NEURORADIOLOGÍA

### Gracias!!!!!!




igdelgado@vhebron.net